

بهره‌برداری تاب‌آور، رفاهی و اقتصادی نانوشبکه هوشمند

سعید باقری^۱، حسین طالبی^۲، علیرضا فریدونیان^۳

^۱ فارغ‌التحصیل کارشناسی ارشد مهندسی برق، گروه قدرت، دانشگاه خواجه نصیرالدین طوسی، s.bagheri@mail.kntu.ac.ir

^۲ فارغ‌التحصیل کارشناسی ارشد مهندسی برق، گروه قدرت، دانشگاه خواجه نصیرالدین طوسی، htalebi@mail.kntu.ac.ir

^۳ استادیار، دانشکده مهندسی برق، گروه قدرت، دانشگاه خواجه نصیرالدین طوسی، fereidunian@eed.kntu.ac.ir

پذیرش: ۱۳۹۷/۱/۲۱

ویرایش: ۱۳۹۶/۱۱/۳

دریافت: ۱۳۹۵/۱۲/۱۵

چکیده: امروزه، بدلیل مشکلات تولید انرژی، هزینه زیاد و آلودگی محیط زیست، مدیریت مصرف انرژی الکتریکی از مسایل اصلی پژوهشی دنیا شده است. با پیشرفت شبکه هوشمند، وجود یک سیستم یکپارچه، دقیق و سریع می‌تواند هم رضایت ساکنین را برآورده سازد، و نیز کاهش هزینه را دربر داشته باشد و حالات بهینه عملکرد وسایل را تعیین کند. مفهوم تاب‌آوری برای کاهش قطعی‌های بارهای حساس معرفی شده است. در این پژوهش، یک نانوشبکه نمونه با چندین نوع وسایل متفاوت شامل منابع تولید پراکنده، ذخیره‌ساز و خودرو برقی، و نیز وسایل مصرف‌کننده انرژی در نظر گرفته شده است. کارآرایی روش پیشنهادی با زمانبندی دقیق عملکرد وسایل، در نظرگیری آسایش ساکنین و یافتن حالات بهینه عملکرد و نیز حضور نایقینی‌ها و سناریوسازی‌های دقیق‌تر نشان داده شده است. همچنین، در بخش اصلی پژوهش، تفاوت میان دو حالت در نظرگیری تاب‌آوری و در نظر نگرفتن آن نیز لحاظ شده است و نتایج حاصل با هم مقایسه می‌شود.

کلمات کلیدی: نانوشبکه، خانه هوشمند، مدیریت انرژی، تاب‌آوری، بهینه‌سازی هزینه، نایقینی، ابرمکعب لاتین، تولید پراکنده.

Resilient, Comfort and Economic Operation of Smart Nanogrid

Saeed Bagheri and Hossein Talebi, Alireza Fereidunian

Abstract: Nowadays, the management of power consumption has been one of the main concerns for researchers, because of energy generation problems, high cost and environment pollutions. An integrated, fast and accurate system can earn satisfaction of occupants and also cost reduction. Some loads are very vulnerable to natural disasters, thus this interruptions are costly for customers. The resiliency concept is introduced accordingly. The model presented in this research is a Nanogrid, equipped with DGs, batteries and electric vehicle, and power consumer. This research devotes an effort to optimize household energy cost, occupants comfort and Nanogrid resiliency with optimal scheduling of all elements considering uncertainty of distributed energy. If needed, utility can reduce potential peaks occurrence in grid, too. Finally, the performance of the method is discussed by simulation on a typical model. Simulation results under different pricing and weather modes, show effectiveness of proposed model on reducing the quantities of each considered cost functions.

Keywords: Nanogrid, Resilience, energy management, renewable energy sources, uncertainty, stochastic programming.

		شرح اختصار	
t^{OD}	تعداد بازه عملکرد وسیله بعد از آغاز به کار		
t_j^{finish}	بازه زمانی پایان عملکرد وسیله لام	LHS	روش نمونه‌برداری ابرمکعب لاتین
$OS_{t,j}$	متغیر باینری وضعیت عملکرد وسیله لام در بازه لام	MILP	برنامه‌ریزی خطی عدد صحیح مختلط
$P_{t,j}^{sch}$	توان مصرفی وسیله لام در بازه زمانی لام	EEMS	سیستم مدیریت انرژی خبره
$P_t^{demand.sch}$	کل توان مصرفی وسایل کنترل زمانی در بازه لام	RTP	قیمت‌گذاری بلادرنگ
DTR_j	نرخ زمان تأخیر وسیله لام	SOC	وضعیت شارژ (میزان انرژی ذخیره شده)
ρ	پارامتر تأخیر	PEV	خودروی الکتریکی
$\theta_t^{amb}, \theta_t^{room}$	دمای اتاق و هوای محیط در بازه زمانی لام	PSO	بهینه‌سازی ازدحام ذرات
$\theta_t^{set.heater}, \theta_t^{set.cooler}$	دمای تنظیم سیستم سرمایش و گرمایش در بازه زمانی لام	DTR	نرخ زمان تأخیر
$\theta_{cooler}^g, \theta_{mag in}$	مقدار حاشیه ای دمای عملکرد و ثابت کاهش دما	EENS	انتظار انرژی تأمین نشده
OS_t^{cooler}	وضعیت عملکرد سیستم سرمایش در بازه زمانی لام	P_{thr}^{peak}	شرح علامت
k_{human}, k_{th}^{room}	ثابت ترمودینامیکی اتاق و ثابت تبادل گرمایی بین انسان و محیط	δ	مقدار آستانه پیک تقاضا از شبکه
$n_{occupants}(t)$	تعداد افراد حاضر در اتاق در بازه زمانی لام	pdP	طول بازه‌ی زمانی
k_{cooler}^{eff}	ضریب اثرگذاری دمایی سیستم سرمایش	v_{aw}, v_m	قیمت هر کیلووات ساعت انرژی دریافتی از شبکه بیش‌تر از مقدار آستانه
$P_t^{demand.cooler}$	توان دریافتی سیستم سرمایش در بازه زمانی لام	v_{co}, v_{ci}	میانگین سرعت باد
P^{cooler}	توان الکتریکی مصرفی در سیستم سرمایش	v_{aw}, v_r	سرعت کات‌این و کات‌آف
NOC	تابع هزینه عملکرد نانوشبکه	$P_w(v)$	سرعت نامی و سرعت اعمال شده به توربین بادی
m^{pv}, m^{batt}, m^{wt}	هزینه نگهداری توربین بادی، سلول خورشیدی و باتری	$P_{pv}(si)$	توان خروجی توربین بادی به ازای سرعت باد v
D_t^{PEV}	مسافت طی شده توسط خودرو برقی (کیلومتر)	η^{PV}	توان خروجی فتوولتائیک به ازای تابش si
C_{PEV}	انرژی مصرف شده در خودروی الکتریکی به ازای هر کیلومتر پیمایش	S^{PV}	بازده سلول‌های خورشیدی
P_t^{pv}, P_t^{wt}	توان سلول‌های خورشیدی و توربین بادی طبق داده‌های پیش‌بینی	P_{rated}	مساحت کل فتوولتائیک
q_t, b_t	قیمت خرید و فروش برق از/ به شبکه	$\eta_{PEV}^{ch}, \eta_{PEV}^{dch}$	توان نامی توربین بادی
$P_t^{grid.sell}, P_t^{grid.buy}$	توان دریافتی و ارسالی از/ به شبکه بالادست در بازه t	SOC_t^{PEV}	بازده شارژ و دشارژ خودروی الکتریکی
s	شماره سناریو	$P_t^{PEV.ch}, P_t^{PEV.dch}$	انرژی ذخیره شده در خودروی الکتریکی در بازه لام
$P_{s,t}^{pv}, P_{s,t}^{wt}$	توان خروجی از توربین بادی و سلول خورشیدی در بازه لام از سناریوی s	P_t^{PEV}	توان شارژ/دشارژ خودروی الکتریکی در بازه زمانی لام
π_s	احتمال سناریوی s	$P_t^{demand.non_sch}$	توان شارژ/دشارژ خودروی الکتریکی
			توان مصرفی خودروی الکتریکی توسط لوازم خانگی غیر قابل کنترل زمانی در بازه لام
		t_j^{start}	بازه زمانی آغاز به کار وسیله لام
		j	شاخص نشان دهنده هر وسیله
		ES_t	زودترین بازه زمانی آغاز به کار
		LF_t	دیرترین بازه زمانی پایان عملکرد

۱- مقدمه

نمودی از تاب‌آور کردن سیستم می‌باشد. این مفهوم وابسته به تولید، تقاضا، ساعت روز و مدت زمان قطعی است. روش برنامه‌ریزی به صورت تصادفی است. وضعیت شارژ (SOC)، میزان حداقلی شارژ باقی‌مانده در باتری را نشان می‌دهد. استراتژی کنترلی آن تنها بر روی باتری است و به سه حالت در نظر گرفته شده است. حالت اول باتری تا آخرین لحظه دشارژ شود و شارژ آن تنها با تولید محلی باشد. در حالت دوم وقتی شبکه متصل است باتری هیچ‌گاه تا آخر دشارژ نشود و در حالت سوم یک SOC2 پایه برای حالت اضطراری تعیین شود که در صورت لزوم از SOC1 به SOC2 برود. در [۶] آنالیز تاثیر مدیریت انرژی در مواقع خروج تولید، در صورت اتصال خودرو به خانه هوشمند کار شده است. استراتژی استفاده شده مد عملکرد خفیف شده است. در حالت برقرار بودن سیستم کنترلی به صورت عادی کار می‌کند و خودرو اولویت شارژ را دارد. این پژوهش حالات قطع و برق و مدت زمان آن را اولویت قرار داده است. یعنی پس از قطعی برق بایک استراتژی خاص کار می‌کند تا از مرکز دلیل و زمان قطعی را دریافت کند. حال استراتژی‌های دیگر را بر اساس تخمین مدت زمان قطع برق اعمال می‌کند. ارزیابی تاب‌آوری نیز تنها به وسیله مقایسه حالت با خودرو برقی و بدون خودرو برقی انجام شده است. به گونه‌ای که با تحلیل نمودار توان، مشاهده می‌شود که مدت زمان و میزان توان برق‌رسانی در حالت جزیره‌ای با کمی حساسیت بهبود یافته است که این خود نمودی از تاب‌آوری در نانوشبکه می‌باشد.

در [۷] یک مدل از سیستم مدیریت انرژی خانگی مطرح شده است که استراتژی مدیریتی را با هدف افزایش تاب‌آوری نشان می‌دهد.

در مرجع [۸] مسأله زمانبندی منابع انرژی ساختمان با بررسی یک ساختمان کم انرژی کاربردی مقایسه شده است. تابع هدف آن، کمینه کردن هزینه کلی برق و گاز طبیعی هنگام عملکرد ساختمان در بازه‌های مختلف زمانی می‌باشد درحالی‌که قید تعادل انرژی و قیود عملکرد پیچیده وسایل و تجهیز تغذیه انرژی نیز رعایت می‌شوند. برنامه پاسخ‌گویی بار یک مسأله بهینه‌سازی چالش برانگیز است. به‌منظور حل این مسأله به‌طور مؤثر، یک رویه ابتکاری در [۹] برای دستیابی به راه‌حلی نزدیک به بهینه با هزینه‌های محاسباتی کم، ارائه شده است. این مرجع در عین حال که کنترل مناسبی برای لوازم خانگی گرمایی ارائه می‌دهد ولی به‌دلیل استفاده از نرخ قیمت-گذاری زمان استفاده و بازه‌های شبیه‌سازی یک ساعته از دقت کافی برخوردار نمی‌باشد. مرجع [۱۰] مفهوم خانه تبادل انرژی صفر را بیان کرده است و بررسی آماری و تحلیلی جامع بر روی چندین خانه در نقاط مختلف دنیا انجام شده است؛ بدین معنی که فرایند هوشمندسازی و بهینه‌سازی مصرف برق، به وسیله جایگزینی منابع انرژی تجدیدپذیر، به عنوان جانشینی مناسب برای سوخت‌های فسیلی و خروج وابستگی خانه‌ها به شبکه برق را بیان می‌کند و تاثیر حضور این مفهوم را به خوبی نشان می‌دهد. که در مرجع [۱۱] بهره‌برداری و مشارکت بهینه سلول خورشیدی، توربین بادی و تولید کوچک برق آبی به عنوان منابع تولید انرژی یک خانه در نظر گرفته شده‌اند که منجر به ارایه شمایی از یک خانه هوشمند انرژی صفر

ساختمان‌های تجاری و مسکونی بیش از ۵۰٪ مصرف انرژی الکتریکی اروپا را به خود اختصاص می‌دهند که عموماً دارای بازده پایین می‌باشند. بر اساس مفهوم خانه‌های هوشمند، این واحدها را می‌توان به گروه‌های یک شبکه هوشمند تبدیل کرد که بخش چشم‌گیری از انرژی مصرفی توسط انرژی‌های تجدیدپذیر، به صورت محلی در ریزشبکه خانه-ها تولید شده و تمامی تولیدکنندگان و مصرف‌کنندگان به صورت هوشمند مدیریت می‌گردند. با پیشرفت فناوری مخابرات و اطلاعات و نیز تکنولوژی ساخت، مفاهیم و فناوری‌های جامعی برای خانه‌های هوشمند اتخاذ شده است. با این روش، خانه‌های هوشمند یک مشتری فعال در نظر گرفته می‌شوند که با شبکه هوشمند در یک تعامل نزدیک با محیط محلی و سطح بالاتر شبکه هوشمند، مذاکره و همکاری می‌کنند. خانه‌های اخیراً توسعه یافته و وسایل برقی‌شان (گرم‌کننده‌ها، دستگاه تهویه هوا، تجهیزات سرگرمی، وسایل خانگی و...)، راهبرد کنترل و ساختار شبکه موجب ارتقا بازده انرژی و بهبود مدیریت ریزشبکه برق محلی و شبکه دوردست از طریق مدیریت انرژی فعال سمت بار، و جمع‌آوری مقدار زیادی از منابع انرژی تجدیدپذیر پراکنده کم‌قدرت و در نتیجه کاهش چشمگیر استفاده از منابع سنتی، می‌گردد [۱]. خانه هوشمند، نمودی از یک نانوشبکه است. با توجه به تعاریف نانوشبکه و دستاوردهای اخیر در این زمینه، خانه‌های هوشمند یک سیستم مهم در اجزای شبکه می‌باشد. با توجه به اهمیت بحث تاب‌آوری و پیشرفت سیستم‌های خانه هوشمند، اگر بتوان یک نانوشبکه را در برابر رخداد خطا مقاوم کرد، ریزشبکه بالادست می‌تواند به اجزای دیگر شبکه خود برسد و توان را تامین کند. در بحث تاب‌آوری در خانه هوشمند، رخدادهای متفاوتی می‌تواند تاثیرگذار باشد. به دلیل قابلیت کارکرد حالت جزیره‌ای نانوشبکه، می‌توان نانوشبکه را یک بخش مناسب برای افزایش تاب‌آوری در نظر گرفت [۲].

امروزه با وجود تحقیقات و تکنولوژی‌های نوین در زمینه خانه هوشمند، ویژگی‌هایی به خانه هوشمند اضافه شده است که می‌توان به وسیله آن، زیرساخت‌های مناسب را برای سیستم‌های کنترلی به منظور پایش و کنترل مصرف انرژی فراهم آورد [۳]. همچنین مدیریت سمت تقاضا^۱ که روشی برای پیشینه کردن سود برای تولیدکننده و مصرف‌کننده ارایه می‌دهد، که کیفیت انرژی^۲ و پاسخگویی بار^۳ اجزای اصلی این مفهوم هستند و با این دو قسمت می‌توان به دستاوردهای مورد نظر در مدیریت سمت تقاضا دست یافت که این دستاوردها شامل، پیک‌سایی، افزایش پایداری و کاهش هزینه می‌شود [۴].

پژوهش‌های مختلفی در زمینه تاب‌آوری و نانوشبکه انجام شده است که حتی در برخی موارد اسمی از تاب‌آوری به میان نیامده؛ اما در دل خود یک سیستم تاب‌آور ساخته شده و نتایج مفید آن بازگو شده است که همگی در حالات اضطرار بررسی شده‌اند.

در [۵] از یک مفهوم به عنوان "قابلیت باززیستی" استفاده شده است که از نظر مهندسی برق به معنای احتمال ادامه برق‌رسانی می‌باشد که خود

قرارگیری تاب‌آوری در مساله انجام شده است. تفاوت اصلی این مقاله با سایر مقالات، در نظرگیری تاب‌آوری از سطح جزئی که همان نانوشبکه می‌باشد، است که مجموعه چندین نانوشبکه تاب‌آور، خودبخود ریزشبکه-ای تاب‌آور را در پی دارد.

در بخش ۱ مقدمه و مروری بر ادبیات پیشین انجام شد. در بخش ۲ توضیح مختصری از تاب‌آوری و در بخش ۳ روش کار ساختار شبکه نمونه قابل مشاهده است. همچنین در این بخش در مورد فرمول‌های مورد نیاز شرح داده شده است. بخش ۴ مربوط به نتایج می‌باشد و به بحث و تحلیل آن‌ها پرداخته شده است. و در نهایت در بخش ۵، جمع‌بندی و نتیجه‌گیری قرار دارد.

۲- تاب‌آوری^۱

خاموشی‌های گسترده با احتمال بسیار پایینی امکان رخ دادن دارند اما هزینه‌های اقتصادی اجتماعی سنگینی دربردارد. طبق گزارش انجمن اقتصادی کاخ سفید در امریکا، بیشترین دلیل قطعی برق در این کشور بر اثر حوادث جوی است. مطالعات نشان می‌دهد ضرر مربوط به مشکلات آب و هوایی در شبکه قدرت از سال ۲۰۰۳ تا ۲۰۱۲ به ۳۰۰ میلیارد دلار می‌رسد. در سال ۲۰۱۲ نیز طوفان سندی باعث بی‌برق شدن حدود ۷/۵ میلیون شهروند در ۱۵ ایالت شد و تنها بخشی از ایالات مرکزی کشور که مجهز به میکروگرید قابل کنترل بود نجات پیدا کردند که اهمیت این مفهوم را می‌رساند. تاب‌آوری، همانطور که توسط دفتر کابینه دولت انگلستان تعریف شده است عبارت است از: "منابع شبکه و سیستم، برای پیش‌بینی، جذب و انطباق و بازیابی بعد از یک رویداد مخرب است." این تعریف چهار قسمت از تاب‌آوری شبکه را مشخص می‌کند: تحمل در برابر خطا، پاسخگویی سریع، ترمیم و پایایی [۱۶]. با توجه مرجع [۱۷]، شاخص عملکرد عادی و خطا برای یک نانوشبکه، نیازمندی نانوشبکه به شبکه قدرت است. یعنی اگر بتوان محتاج بودن به شبکه قدرت بالادست را کاهش داد، به تبع آن می‌توان یک نانوشبکه تاب‌آور داشت تا در مواقع خطا، نیازمندی کمتری وجود داشته باشد و خود نانوشبکه بخشی از توان مورد نیازش را تامین نماید. در این پژوهش مفهوم تاب‌آوری به گونه‌ای دیگر بیان شده است. با توجه به اینکه تاب‌آوری به معنای فراتر از قابلیت اطمینان است، اگر بتوان قابلیت اطمینان را بالاتر از حد نرمال برد، به این معنا است که به سیستمی تاب‌آورتر دست خواهند یافت [۱۸]. بنابراین با توجه به احتمال قطعی برق از شبکه بالادست، اگر بتوان نیازمندی به سیستم بالادست را کاهش داد می‌توان سیستم را تاب‌آور کرد.

در مفهوم تاب‌آوری، وابستگی شدید به عواقب یک حادثه، تطبیق پذیری سیستم و سرعت بازیابی آن به زمان، فاکتورهای مهمی هستند که باید در بررسی به آن‌ها توجه شود. همچنین پاسخ دهی سیستم پیش از

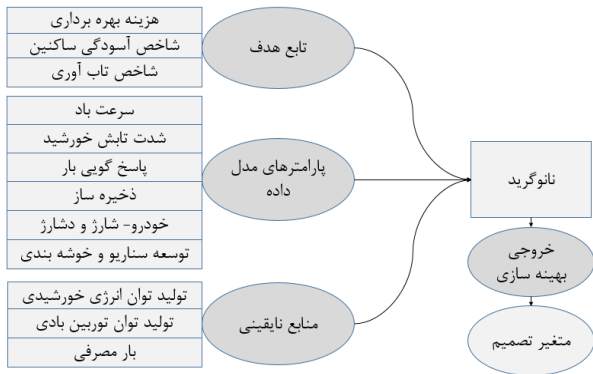
کارآمد، چه از نظر عدم آلودگی و چه از نظر هزینه را به خوبی به نمایش می‌گذارد. همچنین، این پژوهش به وسیله نرم‌افزار Homer انجام شده است. در [۱۲]، زمانبندی بهینه مصرف انرژی خانه‌های هوشمند با استفاده از یک روش برنامه‌ریزی خطی عدد صحیح مختلط (MILP) مورد مطالعه قرار گرفته است. به منظور کمینه کردن مصرف انرژی پیش‌بینی شده برای یک روز، عملکرد منابع انرژی توزیع شده و لوازم خانگی مصرف‌کننده برق بر اساس قیمت‌گذاری بلادرنگ، پنجره زمانی وسایل برقی و خروجی انرژی تجدیدپذیر پیش‌بینی شده، زمانبندی و برنامه‌ریزی شده است. برای کاهش پیک دیماندا از شبکه، طرح قیمت‌گذاری بار پیک تقاضا نیز اتخاذ شده است. در عین جامع بودن این پژوهش در آن زمانبندی مناسبی برای تخلیه انرژی باقی‌مانده در باتری خودرویی الکتریکی در ساعات مورد نیاز در نظر گرفته نشده است. در [۱۳] با استفاده از الگوریتم‌های برنامه‌ریزی خطی، هزینه عملکرد ریزشبکه کمینه شده و وضعیت شارژ باتری بهینه شده است. این مرجع بیشتر به صورت جزئی روی رفتار فرکانس بالای اجزاء به مطالعه پرداخته است. مرجع [۱۴] یک استراتژی مشارکت بهینه جدید را برای یک ژنراتور بادی پیشنهاد داده است که یک تجهیز ذخیره‌ساز انرژی را برای مشارکت در فرایند تخصیص واحد روز پیشرو بکار می‌گیرد هر چند از بحث مدیریت انرژی خانه و چگونگی اجرای آن صحبتی به میان نیامده است. مرجع [۱۵] یک سیستم زمانبندی بهینه لوازم خانگی را با یک باتری به عنوان سیستم ذخیره‌ساز انرژی تحت تعرفه برق زمان استفاده، شرح می‌دهد. اندازه‌گیری‌های مربوط به مصرف توان لوازم خانگی و پروفیل‌های تقاضا از قبل بدست آمده‌اند. در این مقاله، یک مدل ریاضی برنامه‌ریزی غیرخطی عدد صحیح مختلط با قیود عملیاتی کاربردی‌تر برای زمانبندی باتری، فرموله و حل شده است. در نهایت نتایج حاصل از شبیه‌سازی در دو زمینه صرفه‌جویی در هزینه‌ها و پیک‌سایی مورد بررسی قرار گرفته است هرچند در این مرجع از وجود منابع انرژی باد و خورشید در خانه بهره گرفته نشده است.

پژوهش‌های فراوانی در مورد این موضوع انجام شده است که چند مورد از آن‌ها در این بخش مرور شد. اما در هیچ کدام از این پژوهش‌ها، بحث تاب‌آوری به میان نیامده است و یا به صورت خیلی مختصر در مورد آن بحث شده است و تنها از مفهوم سطحی تاب‌آوری به منظور تداوم برق‌رسانی استفاده شده است؛ همچنین مقالات بسیار کمی در بحث تاب‌آوری در یک نانوشبکه ارایه شده است و همچنان خلا در این موضوع احساس می‌شود.

این پژوهش، بحث تاب‌آوری را در سطح نانوشبکه بیان کرده است. در این مقاله، مساله از نقطه نظر اقتصادی و نیز رفاه ساکنین مورد بررسی قرار می‌گیرد. نکته قابل توجه این است که بحث تاب‌آور بودن خانه نیز توانمند در نظر گرفته شده که نتایج شبیه‌سازی با در نظرگیری نایقینی‌ها، بر محوریت تاب‌آور بودن، محاسبه و یک مقایسه با در نظر گرفتن و عدم

^۱ Resiliency

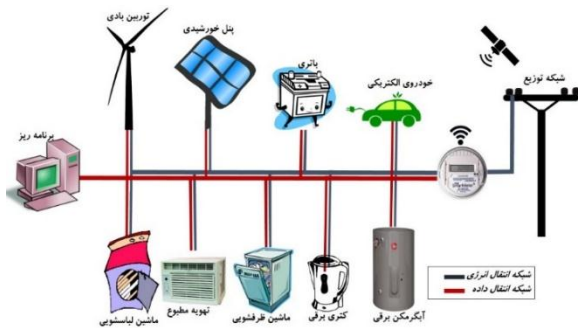
است سیستم ذخیره‌سازی انرژی را شارژ یا دشارژ نماید. شکل (۲) مدل مفهومی این پژوهش را ارایه می‌دهد.



شکل ۲: مدل مفهومی کار مطالعاتی این مقاله

۱-۳ ساختار پیشنهادی

اجزای نانوشبکه‌ای که در این پژوهش مورد مطالعه قرار گرفته است، به صورت شکل ۳ می‌باشد.



شکل ۳: اجزای نانوشبکه مورد مطالعه

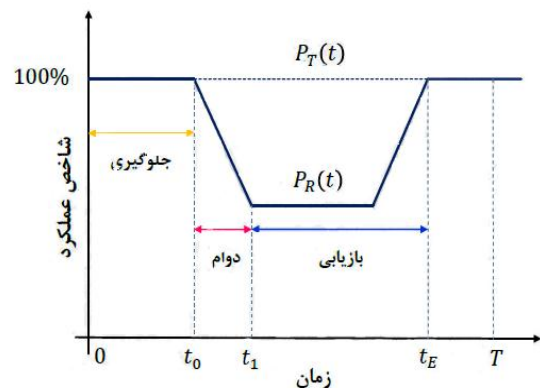
نانوشبکه مورد مطالعه از بخش‌های منابع تولید، شبکه اصلی، لوازم خانگی و کنترل‌کننده تشکیل شده است. کنترل‌کننده نانوشبکه، وظیفه مدیریت انرژی یک خانه هوشمند را بر عهده دارد. بخش‌های اصلی این سیستم کنترل‌کننده عبارتند از: بخش پیش‌بینی، بخش زمان‌بندی و بخش کنترل لحظه‌ای. بخش پیش‌بینی وظیفه جمع‌آوری داده‌های مورد نیاز از جمله سرعت باد، تابش خورشید و دمای هوا را از پایگاه‌های داده‌های هواشناسی معتبر دارد. بخش کنترل لحظه‌ای اطلاعات مربوط به وضعیت عملکرد سایر اجزاء را از طریق سنسورها و شبکه مخابراتی در اختیار سیستم مدیریت انرژی قرار می‌دهد. بخش زمان‌بندی به‌عنوان بخش تصمیم‌گیری سیستم مدیریت انرژی عمل می‌کند.

۲-۳ فرضیات پژوهش

در این پژوهش، مدل پیشنهادی برای مدیریت انرژی نانوشبکه، برخی فرضیات در عملکرد اجزاء در نظر گرفته شده است. به‌طور خلاصه، این فرضیات در هر یک از بخش‌ها عبارتند از شبکه بالادست، منابع تجدیدپذیر و بارها.

اختلال، پس از آن و در طول حادثه مهم است [۱۹-۲۱]. در شکل ۱ روند تاب‌آوری در یک سیستم قدرت مشخص شده است. شاخص عملکرد، MOP می‌باشد. با وجود اینکه این نمودار در سیستم قدرت تعریف شده است، اما می‌توان روی هر سیستمی اجرا کرد. اما برای ظاهری این رابطه، بسته به نوع مطالعه، MOP مورد نظر باید انتخاب شود. در شکل ۱، یک نمودار ریاضی وار مشاهده می‌شود که دو تابع $P_T(t)$ و $P_R(t)$ مشخص شده‌اند که به ترتیب تابع مقدار شاخص عملکرد در حالت عادی و در حالت خطا می‌باشد. در رابطه (۱)، $R(t)$ شاخص اندازه‌گیری تاب‌آوری می‌باشد.

$$R(T) = \frac{\int_0^T P_R(t) dt}{\int_0^T P_T(t) dt} \quad (1)$$



شکل ۱: نمودار مربوط به شاخص تاب‌آوری [۲۲].

با توجه مرجع [۲۲]، شاخص عملکرد عادی و خطا برای یک نانوشبکه، نیازمندی نانوشبکه به شبکه قدرت است. یعنی اگر بتوان محتاج بودن به شبکه قدرت بالادست را کاهش داد، به طبع آن می‌توان یک نانوشبکه تاب‌آور داشت تا در مواقع خطا، نیازمندی کمتری وجود داشته باشد و خود نانوشبکه بخشی از توان مورد نیازش را تامین نماید؛ این بدین معنا است که $P_R(t)$ به $P_T(t)$ نزدیک تر می‌شود، پس $R(t)$ افزایش می‌یابد.

۳- روش

این پژوهش با هدف کمینه‌کردن هزینه کل یک نانوشبکه که شامل هزینه خرید برق از شبکه توزیع بالادستی، هزینه عملکرد هر یک از اجزاء از قبیل منابع انرژی تولید پراکنده تجدیدپذیر و باتری ذخیره‌ساز انرژی می‌باشد و بیشینه‌کردن سود حاصل از فروش انرژی به شبکه توزیع بالادستی در ساعات اوج بار، انجام شده است. نانوشبکه، هم‌چون ریزشبکه، انرژی تولید شده توسط منابع انرژی پراکنده اعم از تجدیدپذیر و تجدیدناپذیر را جمع‌آوری کرده و مطابق با فرمان صادر شده از سیستم مدیریت انرژی خانه یا ساختمان، آن را بین مصرف‌کننده‌های خانگی توزیع کرده و ممکن

ساز متصل شده به آن قابلیت شارژ یا دشارژ انرژی را در زمان‌های برنامه‌ریزی شده دارد. علاوه بر آن، نانوشبکه با اتصال به شبکه توزیع بالادستی، امکان تبادل توان دو طرفه دارد.

۴-۱- مدل سازی خرید و فروش

هدف از پاسخگویی بار تنها مصرف برق کمتر در ساعات پیک نیست، بلکه می‌تواند جلوگیری از بروز پیک‌های ناخواسته در ساعات کم‌باری نیز باشد. بنابراین به ازای مقادیر انرژی دریافتی بیش‌تر از مقدار آستانه در هر بازه زمانی t ، جریمه‌ای به هزینه خرید برق از شبکه اضافه می‌شود که از رابطه‌ی زیر به‌دست می‌آید [۲۴]:

$$(P_t^{grid, buy} - P_{thr}^{peak}) \cdot \delta \cdot pdP \quad (2)$$

رابطه‌ی (۲)، نوع خاصی از قیمت‌گذاری بلادرنگ^۴ می‌باشد.

۴-۲- مدل سازی توربین بادی

برای مدل‌سازی بخش مربوط به توان توربین بادی از تابع احتمالاتی ریلی^۵ استفاده شده است. به صورتی که ابتدا به وسیله تابع ریلی چندین نمونه از داده‌های اولیه باد تولید شده و سپس با استفاده از رابطه (۳)، خروجی توربین بادی قابل محاسبه خواهد بود: [۲۵]

$$P_v(v) = \begin{cases} 0 & 0 \leq v_{aw} \leq v_{ci} \\ P_{rated} \times \frac{(v_{aw} - v_{ci})}{(v_r - v_{ci})}, P_{rated} & v_r \leq v_{aw} \leq v_{co}, v_{ci} \leq v_{aw} \leq v_r \\ 0 & v_{co} \leq v_{aw} \end{cases} \quad (3)$$

۴-۳- مدل سازی پنل خورشیدی

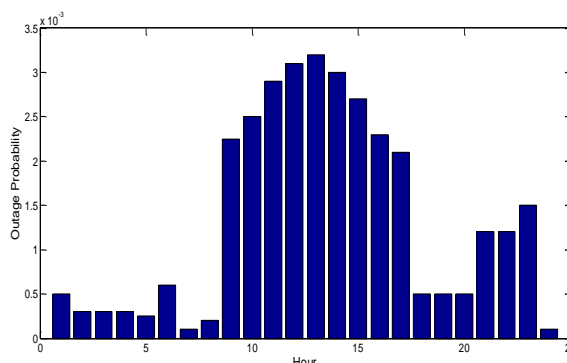
در این بخش نیز مانند تولید توان بادی، ابتدا به وسیله تابع بتا داده‌های اولیه تولید شده و سپس به وسیله رابطه (۴) میزان تولید توان سیستم پنل خورشیدی قابل محاسبه خواهد بود [۲۵]:

$$P_{PV}(si) = \eta^{PV} \times S^{PV} \times si \quad (kw) \quad (4)$$

۴-۴- مدل سازی ذخیره‌ساز و خودرو الکتریکی

برای مدل‌سازی خودروی الکتریکی^۶ و ذخیره‌ساز، از مدل بکار رفته در مرجع [۲۶] استفاده شده است. با توجه به اینکه خودرو نیز نوعی ذخیره‌ساز می‌باشد روابط این دو المان تقریباً به‌هم هستند. این خودروها از باتری‌های قابل شارژ استفاده می‌کنند که می‌توانند با اتصال به پریزهای برق موجود در خانه، عمل شارژ و دشارژ را انجام دهند. بنابراین اگر مدیریتی صورت نگیرد، عمل شارژ و دشارژ در مواقع نامناسب می‌تواند اثرات نامطلوب از جمله پرشدگی خطوط روی شبکه بگذارد. در حقیقت یک خودرو برقی همانند سیستم ذخیره‌سازی عمل می‌کند که در ساعاتی از روز حضور ندارد.

در شبکه بالادستی داده‌های مربوط به قیمت برق برای یک روز پیش‌رو، به‌صورت خودکار از طرف شرکت توزیع به کامپیوتر سیستم برنامه‌ریز، ارسال می‌گردد. این داده‌ها شامل قیمت‌های بلادرنگ و قیمت توان پیک دریافتی از شبکه بالادستی، در صورت اعمال قیمت‌گذاری پیک تقاضا از شبکه، می‌باشد که برای بازه‌های زمانی یک ساعته ارائه می‌شوند. همچنین در منابع تجدیدپذیر، داده‌های مربوط به دما، سرعت باد و تابش خورشید برای روز آینده، به‌صورت خودکار توسط برنامه‌ریز از پایگاه‌های پیش‌بینی آب و هوا دریافت می‌گردد. داده‌های تاریخی کاملی نیز درباره میانگین و انحراف استاندارد سرعت باد و تابش خورشید، از قبل در کامپیوتر برنامه‌ریز، ذخیره شده است. بارهای الکتریکی با توجه به روش کنترل آن‌ها به سه دسته تقسیم شده‌اند: بدون قابلیت تنظیم زمان عملکرد، با قابلیت تنظیم زمان عملکرد و با قابلیت تنظیم دمای عملکرد. احتمال قطع برق شبکه بالادست به صورت شکل ۴ است. با استفاده از شکل ۴ می‌توان با کمک تعاملی که مفهوم قابلیت اطمینان با تاب‌آوری دارد سیستم را در تمامی ساعات روز با هدف تاب‌آورتر کردن، بهینه کرد.



شکل ۴: احتمال قطع برق برای هر ساعت در یک روز نمونه [۲۳]

۳-۳- هدف پژوهش

هزینه کل عملکرد نانوشبکه در این پژوهش را می‌توان به دو قسمت اصلی هزینه‌های نگهداری تجهیزات و هزینه خرید انرژی از شبکه بالادستی تقسیم کرد. هزینه خرید انرژی از شبکه بالادستی نیز طبق سازوکار از پیش تعیین شده بین خانه و شرکت توزیع انجام می‌پذیرد. در کنار هزینه عملکرد نانوشبکه، هزینه آسودگی خاطر ساکنین و هزینه تاب‌آوری نانوشبکه در برای وقوع خاموشی، نیز در نظر گرفته می‌شوند.

کمیته سازی:

هزینه آسودگی خاطر ساکنین + هزینه تاب‌آوری انرژی + هزینه عملکرد نانوشبکه

۴- مدل سازی

نانوشبکه در نظر گرفته شده در این پژوهش مجهز به شبکه‌ای است که انرژی تولید شده توسط توربین بادی و سلول‌های خورشیدی را دریافت کرده و بین لوازم خانگی مصرف‌کننده انرژی، توزیع می‌کند. ضمناً ذخیره

بازه را نشان می‌دهد. اما دسته سوم لوازم برقی با تنظیم دمایی می‌باشند که با تنظیم دما می‌توان مصرف برق را کنترل کرد. این وسایل شامل سیستم گرمایشی و سرمایشی خانه، یخچال و فریزر می‌باشد و روابط ریاضی مشابهی بر آن‌ها حاکم است. براساس [۲۴] و [۲۷] روابط مربوط به این دسته وسایل به صورت زیر است.

$$OS_t^{cooler} = \begin{cases} 1, & \theta_t^{room} > \theta_t^{set, cooler} \\ 0, & \theta_t^{room} \leq \theta_t^{set, cooler} - \theta_{margin} \\ OS_{t-1}^{cooler}, & otherwise \end{cases} \quad (14)$$

$$\theta_t^{room} = \theta_{t-1}^{room} + k_{th}^{room} \cdot (\theta_{t-1}^{amb} - \theta_{t-1}^{room}) + k_{human} \cdot n_{occupants} (t-1) \cdot (\theta_{human} - \theta_{t-1}^{room}) \quad (15)$$

$$P_t^{demand, cooler} = OS_t^{cooler} \cdot P^{cooler} \quad (16)$$

۶-۴- نرخ زمان تاخیر^۷

برای نمایش ریاضی آسایش ساکنین طبق [۲۸] یک رابطه در نظر گرفته شده است. ساکنین خانه معمولاً ترجیح می‌دهند تا هر وسیله در یک زمان مشخص به منظور اجتناب از قیمت‌های پیک، عملکرد داشته باشد و در عین حال کارشان را قبل از رسیدن به یک زمان مشخص تمام کنند. از این‌رو، پارامتری به نام نرخ زمان تأخیر (DTR) به عنوان شاخصی برای آسودگی خاطر ساکنین در نظر گرفته می‌شود که به صورت (۱۷) تعریف می‌گردد [۲۸]:

$$DTR_j = \frac{t_j^{start} - t_j^{Est}}{(t_j^{LF} - t_j^{OD}) - t_j^{Est}} \quad (17)$$

از آن‌جایی که پارامتر تأخیر بزرگتر از ۱ است، به صورت نمایی با افزایش DTR_j پیوسته افزایش می‌یابد یعنی هرچه وسیله تأخیر بیش‌تری در عملکرد خود در پنجره زمانی‌اش پیدا کند، مقدار مربوط به هزینه تأخیر آن، افزایش به مراتب بیش‌تری پیدا می‌کند. در حقیقت ρ به عنوان پارامتر تأخیر است. برای ساکنین خانه مطلوب است که مقدار رابطه (۱۸) تا جایی که ممکن است و منافع مادی آن‌ها را به خطر نمی‌اندازد، کوچک و کوچک‌تر باشد؛ هرچه این مقدار کوچک‌تر باشد وسایل نزدیک‌تر به زمان تنظیم شده کار می‌کنند.

$$\sum_{j \in J} \rho^{DTR_j} \quad (18)$$

۷-۴- تولید سناریو برای در نظرگیری نایقینی

روش نمونه برداری ابرمکعب لاتین^۸ (LHS) به منظور ترکیب و تولید سناریوهای تولیدات توان باد و خورشید بکار گرفته شده‌است. روش LHS، منافع زیادی از لحاظ افزایش بازده نمونه برداری و زمان اجرای سریع‌تر در مقایسه با روش نمونه برداری مونت کارلو سنتی ارائه می‌دهد [۲۵]. روش LHS به دو گام شامل نمونه‌برداری و ترکیب تقسیم‌بندی شده‌است. در مرحله نمونه‌برداری ۳۰۰۰ نمونه برای نشان دادن طبیعت تصادفی سرعت

$$0 \leq P_t^{PEV, ch} \leq P_{PEV, ch}^{max} \quad (5)$$

$$0 \leq P_t^{PEV, dch} \leq P_{PEV, dch}^{max} \quad (6)$$

$$P_t^{PEV} = \frac{P_t^{PEV, dch}}{\eta_{PEV}^{dch}} = P_t^{PEV, ch} \cdot \eta_{PEV}^{ch} \quad (7)$$

$$SOC_{t+1}^{PEV} = SOC_t^{PEV} + \delta \cdot \eta_{PEV}^{ch} \cdot P_t^{PEV, ch} - \delta \cdot P_t^{PEV, dch} / \eta_{PEV}^{dch} - D_t^{PEV} \cdot C_{PEV} \quad (8)$$

$$SOC_{PEV}^{min} \leq SOC_t^{PEV} \leq SOC_{PEV}^{max} \quad (9)$$

برای یک خودروی الکتریکی، زمان خروج و ورود آن و میزان مسافت طی شده در روز پیش‌رو، توسط کاربر خودرو تعیین می‌گردد. در این ساعات باتری‌های خودرو برای شارژ یا دشارژ در نانوشبکه در دسترس نیستند. بنابراین $P_t^{PEV, ch}$ و $P_t^{PEV, dch}$ در این ساعات صفر هستند [۲۶]. پارامترهای ذخیره‌ساز خودرو مشابه با پارامترهای ذخیره‌ساز تعبیه شده در خانه هوشمند است و تنها ترم آخر رابطه (۷) در آن وجود ندارد و به جای آن رابطه حرارتی سیستم ذخیره‌ساز در نظر گرفته می‌شود.

۵-۴- مدل‌سازی مصرف‌کنندگان انرژی در خانه

تجهیزات خانه از قبیل لوازم خانگی هوشمند، سنسورها و منابع تولید پراکنده از طریق یک شبکه محلی خانگی به هم متصل و مرتبط شده‌اند. الگوریتم زمان‌بندی بار در سیستم مدیریت انرژی خانه، برای ایجاد زمان‌بندی بهینه بار بر اساس اطلاعات اجزاء، تنظیمات مصرف‌کنندگان و مکانیزم قیمت‌گذاری اجرا می‌شود. هسته‌ی عملیاتی زمان‌بندی بار، بهره‌گیری از قابلیت انعطاف بار، مطابق با خروجی‌های منابع انرژی و مکانیزم قیمت‌گذاری، با هدف کمینه‌کردن هزینه انرژی ضمن حفظ راحتی مصرف‌کنندگان می‌باشد. سه دسته وسایل شامل لوازم غیر قابل برنامه‌ریزی، قابل کنترل با تنظیم زمانی و لوازم قابل کنترل با تنظیم دمایی وجود دارد. دسته اول، لوازم غیر قابل برنامه‌ریزی که در مواقع نیاز استفاده می‌شوند. دسته دوم که قابلیت تنظیم زمانی دارند می‌توانند با برنامه مشخص در زمان‌هایی با قیمت مناسب روشن یا خاموش شوند که روابط آن‌ها به صورت زیر می‌باشد.

$$OS_{t,j} = \begin{cases} 0 \text{ or } 1, & t_j^{Est} \leq t \leq t_j^{LF} \\ 0, & otherwise \end{cases} \quad (10)$$

$$OS_{t,j} = \begin{cases} 1, & t_j^{start} \leq t \leq t_j^{start} + t_j^{OD} - 1 \\ 0, & otherwise \end{cases} \quad (11)$$

$$P_{t,j}^{sch} = \begin{cases} P_j, & OS_{t,j} = 1 \\ 0, & OS_{t,j} = 0 \end{cases} \quad (12)$$

$$P_t^{demand, sch} = \sum_{j=1}^J P_{t,j}^{sch} \quad (13)$$

معادله (۱۰) بیان می‌کند که هر وسیله تنها در محدوده‌ی زمانی مشخص خود، یعنی پنجره زمانی‌اش می‌تواند عملکرد داشته باشد. معادله (۱۱) نشان می‌دهد که هر وسیله بعد از شروع عملکرد، تا پایان زمان عملکردش، روشن می‌ماند. معادله (۱۲) نیز توان مصرفی هر وسیله در هر

۵- فرمول‌بندی ریاضی مساله

در این پژوهش با استفاده از روابط مربوط به تابع هزینه که در بخش بعدی قابل مشاهده است و به وسیله روش بهینه‌سازی بهبودیافته الگوریتم ازدحام ذرات (PSO) به حل مساله پرداخته شد و بهینه‌سازی انجام شده است.

۵-۱- تابع هدف نهایی مساله

تابع هدف بهینه‌سازی نهایی، مجموع وزن‌دار سه تابع هزینه تعریف شده است. همچنین قیود نیز باید رعایت شوند تا بهترین پاسخ یافته شود.

$$\min : w_1 \cdot F_1(NOC) + w_2 \cdot F_2(DTR) + w_3 \cdot F_3(EENS) \quad (20)$$

که در آن $w_1, w_2, w_3 \in [0,1]$ و $w_1 + w_2 + w_3 = 1$ و رابطه (۲۰)، w_1, w_2, w_3 ضرایب وزنی هستند که اهمیت هر یک از توابع هزینه و میزان تأثیرگذاری آنها را بر تابع هدف نهایی تعیین می‌کنند.

۵-۲- تابع هزینه عملکرد نانوشبکه

برای یافتن تابع هدف باید مساله براساس هزینه چینی شود و روابط به یک تابع هزینه برسد و سپس آن بهینه شود. تمامی اجزای سیستم دارای هزینه عملکرد و تعمیرنگهداری می‌باشند که به صورت رابطه (۲۰) آمده است که به دلار می‌باشد.

$$NOC = \sum_{t=1}^T \left[\delta(m^{wt} P_t^{wt} + m^{pv} P_t^{pv} + m^{batt} P_t^{batt} + b_t P_t^{grid.buy} - q_t P_t^{grid.sell}) \right] + \sum_{s=1}^S \pi_s \left\{ \sum_{t=1}^T \left[\delta \left(m^{wt} P_{s,t}^{wt} + m^{pv} P_{s,t}^{pv} + m^{batt} P_t^{batt} + b_t P_{s,t}^{grid.buy} - q_t P_{s,t}^{grid.sell} \right) \right] \right\} \quad (21)$$

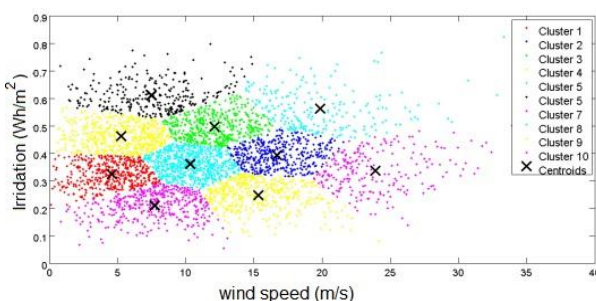
که شامل هزینه عملکرد توربین باتری به ازای میزان تولید توان، هزینه عملکرد پنل خورشیدی، باتری و اختلاف توان‌های خریداری شده و فروخته شده از/به شبکه می‌باشد.

۵-۳- قیود مساله

قیود این مساله از دو قسمت اساسی تشکیل می‌شود: قیود عملکرد اجرا که هر جزء بسته به محدودیت‌های خودش باید عملکرد مناسبی داشته باشد که در روابط قبل اعمال شده‌اند و نیز قیود تعادل انرژی که روابط آن به صورت (۲۵) می‌باشد. همچنین P_t^{demand} خود از مجموع میزان مصارف تمامی سه دسته وسایل برقی پیش‌تر ذکر شده، می‌باشد که در رابطه (۲۶) بیان گردیده است.

باد و تابش خورشید تولید شده‌است. برای این هدف تابع توزیع تجمعی سرعت باد و تابش خورشید به ۳۰۰۰ بازه با احتمال‌های برابر $1/3000$ تقسیم شده‌است. حال برای هر بازه زمانی ۳۰۰۰ زوج داده سرعت باد و شدت تابش خورشید در اختیار است. با توجه به تعداد بالای سناریوها، زمان اجرای برنامه نیز به شدت افزایش می‌یابد. این یک چالش است، زیرا برای برنامه‌ریزی ۲۴ ساعته انرژی و تقاضا، اپراتور مجبور است تا جایی که ممکن است سریع تصمیم بگیرد. بنابراین به منظور کاهش زمان محاسبات، از روش الگوریتم خوشه‌بندی K-means^۹ برای مرتب کردن سناریوهای اصلی سرعت باد و تابش خورشید داخل دسته‌هایی بر اساس تشابه و فاصله بین آن‌ها انتخاب شده‌است. این روش براساس رویه تکراری بنا شده که مرکز ثقل هر دسته به‌عنوان مقدار میانگین سرعت باد و تابش خورشید اختصاص داده شده به هر دسته تعریف شده‌است [۲۵].

مرکز ثقل برای هر دسته، یک سناریو را که شامل ۲ مقدار متفاوت مثلاً مقادیر میانگین سرعت باد و تابش خورشید است، نشان می‌دهد. شکل ۵ نیز یک نمونه خوشه‌بندی و تعیین مرکز ثقل خوشه‌های سناریوهای سرعت باد و شدت تابش خورشید هستند. تعداد سناریوهای موجود در هر دسته تقسیم بر تعداد کل سناریوهای اصلی، احتمال هر سناریو را نشان می‌دهد.



شکل ۵: سناریوهای سرعت باد و تابش خورشید و خوشه‌بندی آن‌ها برای ۳ ساعت بعد از ظهر یک روز نمونه‌ای

۴-۸- فرمول‌بندی تاب‌آوری

با توجه به [۱۹]، با در نظرگیری تعریف و مفهوم تاب‌آوری ذکر شده، می‌بایست حالت عملکرد در زمان بحران نزدیک به حالت عملکرد در زمان عادی کارکرد سیستم شود. در یک نانوشبکه تداوم برق‌رسانی مهم موضوع است که به وسیله این کار با در نظر گرفتن شاخص انتظار انرژی تأمین نشده توسط شبکه بالادستی، به‌عنوان تابع هزینه تاب‌آوری، انجام می‌شود؛ که معیار مناسبی برای این نزدیک‌سازی دو حالت عملکرد خواهد بود. $EENS^1$ شاخص انتظار انرژی تأمین نشده توسط شبکه بالادستی است. این شاخص، امید ریاضی انرژی تأمین نشده نانوشبکه در زمان قطعی برق

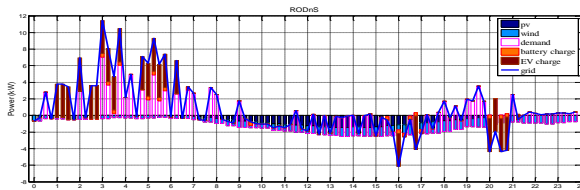
می‌باشد که مقدار آن از رابطه (۱۹) بدست می‌آید و در آن P_t^{outage} احتمال قطع برق (ناپایایی شبکه بالادستی) در هر بازه زمانی است:

$$EENS = \sum_{t=1}^T \delta(P_t^{outage} \times P_t^{grid.buy}) \quad (kwh) \quad (19)$$

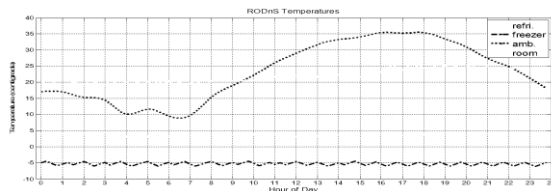
هزینه بهتر بودند، بررسی می‌شود. هر یک حالت‌های شبیه‌سازی در این بخش، در موارد زیر با هم تفاوت دارند. در بخش قیمت‌گذاری دو حالت -با در نظرگیری پیک تقاضا از شبکه (P) و -بدون در نظرگیری پیک تقاضا از شبکه (R)، در بحث زمان آغاز به کار وسایل دو حالت -زودترین زمان آغاز به کار (E) و -زمان آغاز به کار بهینه (O)، همچنین در بحث نرخ زمان تأخیر نیز دو حالت -در نظرگیری نرخ زمان تأخیر (DY) و -بدون در نظرگیری نرخ زمان تأخیر (Dn) و در پایان، یک روز -تابستانی (S) و -زمستانی (W) مطالعات انجام شده است.

۲-۶- مقایسه تعادل توان در حالات مختلف

شکل‌های ۶ و ۷ تعادل توان در بخش تولید و تعادل دما را در این بخش نشان می‌دهند که یکی از این حالت‌ها می‌باشد.



شکل ۶: نمودار تعادل توان الکتریکی برای حالت RODnS (بدون در نظرگیری پیک تقاضا از شبکه/زمان آغاز بکار بهینه/بدون در نظرگیری نرخ زمان تأخیر/فصل تابستان)



شکل ۷: پروفیل دما برای حالت RODnS؛ (خط‌ممتد: دمای اتاق)، (خط‌چین: دمای داخل یخچال)، (نقطه‌خط: دمای داخل فریزر)، (نقطه‌چین: دمای محیط بیرون)

منحنی توان الکتریکی دریافتی از شبکه بالادستی در نمودارهای تعادل توان الکتریکی مربوط به حالت‌هایی که تنها از نرخ قیمت‌گذاری بلادرنگ (که در ابتدای نام آن‌ها از حرف «R» استفاده شده است) استفاده کرده‌اند، دارای افت و خیزهای فراوان است زیرا در این حالت‌ها، زمان‌بندی وسایل خانه و زمان‌بندی شارژ خودروی الکتریکی و باتری به گونه‌ای تنظیم می‌شود که در بازه‌های زمانی با قیمت انرژی کم، توان مورد نیاز نانوشبکه از شبکه بالادستی خریداری شود. این امر ضمن کاهش هزینه‌ها، باعث اعمال پیک‌های ناخواسته به شبکه می‌شود. ولی با اعمال نرخ قیمت‌گذاری پیک تقاضا از شبکه، پروفیل توان دریافتی از شبکه مسطح‌تر می‌شود. با مقایسه حالت‌های تابستان می‌توان دریافت که تولید انرژی بادی و خورشیدی در ساعات ۹ الی ۱۷ باعث شده است که تقاضای انرژی از شبکه بالادستی صفر و در بیش‌تر اوقات منفی شود. این بدان معنی است که نانوشبکه در این ساعات با فروش برق به شبکه در حال سودآوری است. در کنار آن

$$P_t^{demand} = P_t^{wt} + P_t^{pv} + P_t^{grid\ buy} + P_t^{batt\ dch} - P_t^{grid\ sell} - P_t^{batt\ ch} \quad (25)$$

$$+ P_t^{PEV\ dch} - P_t^{PEV\ ch}, \quad \forall t$$

$$P_t^{demand} = P_t^{demand\ non\ sch} + P_t^{demand\ sch} \quad (26)$$

$$+ P_t^{demand\ cooler} + P_t^{demand\ heater}$$

$$+ P_t^{demand\ refri} + P_t^{demand\ freezer}$$

۵-۴- نرمالیزه‌سازی

برای این که تابع هزینه بتواند وارد تابع هدف بهینه‌سازی شود، باید نرمالیزه گردد. عمل نرمالیزه کردن، برای هم مقیاس کردن توابع هزینه موجود در تابع هدف نهایی انجام می‌شود.

$$F_1(NOC) = \frac{NOC}{NOC_{max}} \quad (27)$$

$$F_2(DTR) = \frac{\sum_{j \in J} \rho^{DTR_j}}{\left(\sum_{j \in J} \rho^{DTR_j} \right)_{max}} \quad (28)$$

$$F_3(EENS) = \frac{EENS}{(EENS)_{max}} \quad (29)$$

در (۲۷)، (۲۸) و (۲۹)، F_1 تابع نرمالیزه هزینه عملکرد، F_2 تابع آسایش ساکنین و F_3 نرمالیزه‌شده تاب‌آوری می‌باشد.

۶- نتایج شبیه‌سازی

در این بخش به ارایه نتایج و تفسیر نتایج شبیه‌سازی پرداخته می‌شود. داده‌های اولیه شامل مقادیر میانگین سرعت باد و انحراف استاندارد آن، میانگین تابش خورشید و انحراف استاندارد آن و دمای هوا در هر ساعت از مرجع [۲۹] دریافت شده است. این اطلاعات برای شهر آبردين از ایالت آیداهو در آمریکا، برای یک روز تابستانی و یک روز زمستانی در سال ۲۰۱۵ می‌باشد. توربین بادی نیز از کتابخانه نرم‌افزار Homer و پنل خورشیدی به مساحت ۱۲ متر مربع با بازده ۹۰٪ در نظر گرفته شده است. همچنین محدودیت پیک تقاضا به ازای ۵ کیلووات در ۱۰ دلار بسته شده است. اطلاعات لوازم برقی از [۲۴] و [۲۷] استخراج شده‌اند. پنجره زمانی ۱۵ دقیقه‌ای می‌باشد و روند بهینه‌سازی به روش حالت ابتکاری ازدحام ذرات انجام داده شده است. همچنین ضرایب وزنی تابع هدف به صورت برابر در نظر گرفته شده‌اند؛ یعنی هر سه پارامتر تابع هدف از یک درجه اهمیت برخوردار هستند.

۶-۱- حالت‌های مطالعه

با توجه به روش قیمت‌گذاری، زمان آغاز به کار وسایل، نرخ زمان تأخیر و روز مورد مطالعه، مجموعاً ۱۶ حالت شبیه‌سازی در نظر گرفته می‌شود. ابتدا نتایج بدون در نظر گرفتن تابع هزینه تاب‌آوری، بدست آمده، سپس اثر تابع هزینه تاب‌آوری روی دو مورد از حالت‌هایی که از لحاظ

۶-۴- بررسی اثر در نظرگیری تاب‌آوری روی دو حالت RODnS و PODyS

برای بررسی اثر شاخص تاب‌آوری بر نتایج حاصل از شبیه‌سازی، شبیه‌سازی روی دو حالت RODnS و RODyS (که بهترین نتایج را از نظر هزینه برای فصل تابستان داشته‌اند)، با در نظرگیری وزن مناسب برای تابع انرژی تأمین نشده به تابع هدف اضافه شده‌اند، با پسوند with ENS مشخص شده‌اند. نتایج حاصل از شبیه‌سازی با در نظرگیری شاخص تاب‌آوری در جدول ۱ آورده شده است. در این جدول هزینه عملکرد نانوشبکه، درصد زمان تأخیر، انتظار انرژی تأمین نشده و شاخص پایایی انرژی مورد مقایسه قرار گرفته‌اند.

نام حالت	هزینه عملکرد نانوشبکه	درصد زمان تأخیر	انتظار انرژی تأمین نشده (KWh)	کل انرژی تأمین نشده (KWh)	شاخص پایایی انرژی EIR
RODnS	-۰/۹۰۱۷	۲۲/۶۱	-۰/۰۲۲۴	۳۶/۱۲۸۸	-۰/۹۹۹۳۵۲
RODyS	-۰/۰۵۱۳	-۰/۹۲	-۰/۰۲۲۰	۳۶/۳۸۶۶	-۰/۹۹۹۳۹۵
RODnS_with ENS	-۰/۶۲۶۳	۱۵/۶۲	-۰/۰۱۲۹	۴۰/۴۴۲۹	-۰/۹۹۹۶۸۰
RODyS_with ENS	۱/۵۵۵۳	۲/۱۸	-۰/۰۱۲۱	۳۱/۲۷۸۰	-۰/۹۹۹۶۱۴

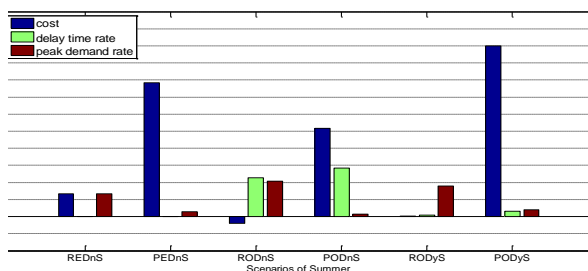
جدول ۱: مقایسه نتایج حاصل از شبیه‌سازی با در نظرگیری شاخص تاب‌آوری و بدون در نظرگیری شاخص تاب‌آوری برای حالت‌های RODnS و RODyS

نتایج حاصل از جدول ۱ نشان می‌دهد که با در نظر گرفتن شاخص مربوط به انتظار انرژی تأمین نشده و اضافه کردن آن به عنوان تابع هزینه تاب‌آوری سیستم به تابع هدف نهایی مسئله، هرچند هزینه حدود یک دلار افزایش پیدا می‌کند ولی شاخص‌های انتظار انرژی تأمین نشده و پایایی انرژی بهبود پیدا کرده‌اند. این افزایش هزینه به دلیل افزایش تاب‌آوری است. در حالت تاب‌آور عملکرد سیستم‌های ذخیره سنگین‌تر شده و نیاز به انعطاف بیشتری خواهند داشت؛ به طوری که کلیدزنی باتری‌ها و جابجایی زمان روشن شدن وسایل تنظیم زمانی و نیز تغییر زمان روشن و خاموش شدن وسایل دمایی، با هدف افزایش شاخص تاب‌آوری است که منجر به شیفت بار به سمت زمان‌هایی که برق گرانتر است، می‌باشد. با در نظر گرفتن تابع هزینه تاب‌آوری، شاخص پایایی انرژی بهبود پیدا کرده است. این بهبود بیشتر در اثر انتقال برخی از مصارف انرژی به ساعات با احتمال قطعی کم‌تر و دشارژ انرژی باتری و خودروی الکتریکی در ساعات با تقاضای انرژی بیش‌تر از شبکه، رخ می‌دهد. با تامل بیشتر در نتایج به این مهم دست می‌یابیم که کم‌ترین هزینه مربوط به حالت RODnS است، زیرا تابع هدف تنها هزینه انرژی نانوشبکه بوده است. همچنین کم‌ترین درصد زمان تأخیر مربوط به حالت RODyS بوده است، زیرا نرخ زمان تأخیر در تابع هدف در نظر گرفته شده است. بیش‌ترین میزان شاخص پایایی انرژی مربوط به حالت RODnS_with ENS بوده است که در آن تابع هزینه تاب‌آوری نیز در تابع هدف نهایی مسئله در نظر گرفته شده است.

انتقال بارهای موجود در خانه از این ساعات به ساعات دیگر به این امر کمک فراوان می‌کند. بهینه‌سازی، بازه‌های دشارژ خودروی الکتریکی و باتری را به ساعات بیشترین قیمت انتقال داده و سودآوری به‌همراه داشته یا از هزینه‌ها می‌کاهد.

۶-۳- مقایسه تمام حالت‌ها از نظر هزینه، پیک توان، درصد زمان تأخیر و نسبت پیک دریافتی به مجموع انرژی

همان‌طور که از نمودار شکل ۷ و مقایسه حالت‌های RODnS و REDnS پیداست، حالت RODnS به‌خوبی توانسته است از هزینه‌ی نانوشبکه بکاهد. منفی شدن میله‌ی مربوط به هزینه در حالت RODnS نشان می‌دهد که این حالت نه تنها هزینه‌ای را به خانه تحمیل نمی‌کند بلکه اندکی سود نیز به همراه دارد. در عین حال در این حالت مقدار درصد زمان تأخیر آن و نیز پیک تقاضای توان از شبکه نسبت به سایر حالت‌ها، بالاتر است، بنابراین نمی‌تواند آسودگی خاطر کافی را برای ساکنین خانه تأمین کند. در مقایسه با RODnS، حالت RODyS که بخش تابع هزینه مربوط به زمان تأخیر را با وزن مشخصی وارد تابع هدف نموده است، توانسته است ضمن افزایش ناچیزی در هزینه نانوشبکه (حدوداً ۰/۴٪)، مقدار درصد نرخ زمان تأخیر را تا حدود زیادی کاهش دهد (حدوداً ۲۲٪) و از این طریق رضایت خاطر ساکنین خانه را نیز فراهم آورد. بنابراین این مقایسه اثر بخشی مدل ارائه شده در این پژوهش برای کاهش نرخ زمان تأخیر وسایل را نشان می‌دهد. بنابراین دخالت دادن بخش مربوط به نرخ زمان تأخیر به تابع هدف نهایی در حالت شبیه‌سازی RODyS، مقدار قابل قبولی را برای هزینه انرژی نانوشبکه و نرخ زمان تأخیر لوازم خانگی (هزینه آسودگی خاطر ساکنین)، با مصالحه بین آن‌ها بدست می‌آورد.



شکل ۸: نمودار مقایسه‌ای بین هزینه (ستون آبی)، نرخ زمان تأخیر (ستون سبز) و نرخ تقاضای پیک (ستون قرمز) برای حالت‌های تابستان

مقایسه بین حالت‌های RODnS و PODnS، و حالت‌های RODyS و PODyS و حالت‌های REDnS و PEDnS به ترتیب کاهش‌های ۱۹، ۱۵ و ۱۱ درصدی را در میزان پیک انرژی دریافتی از شبکه نشان می‌دهد و این امر اثر بخشی نرخ قیمت‌گذاری پیک تقاضا از شبکه را بر مدل ارائه شده در این پژوهش نشان می‌دهد. در کل می‌توان نتیجه گرفت که با وجود اعمال نرخ زمان تأخیر به تابع هدف، بهینه‌سازی کارایی خودش را از دست نداده است و ضمن کاهش هزینه‌های نانوشبکه، آسایش خاطر ساکنین را با کم کردن درصد زمان تأخیر وسایل فراهم می‌کند.

مراجع

[1] Vc. Gungor, D. Sahin, T. Koack, S. Ergut.C. Bucella, C. Cecati, and G. P. Hancke, "Smart Grid and Smart Homes Key Players and Pilot Projects", IEEE Industrial Electronics magazine, December 2012.

[2] Momoh, J., "Smart grid design for efficient and flexible power networks operation and control", In Power Systems Conference and Exposition, PSCE'09. IEEE/PES, March 2009.

[3] H. Morsali, S. M. Shekarabi, K. Ardekani, H. Khayami, A. Fereidunian, M. Ghassemian, H. Lesani., "Smart Plugs for Building Energy Management System", 2nd Iranian Conf. on Smart Grid, ICSG 2012.

[4] M. Kojury-Naftchali, A. Fereidunian, H. Lesani, "Identifying susceptible consumers for demand response and energy efficiency policies by time-series analysis and supplementary approaches", 24th Iranian Conf. on Elec. Engineering, ICEE 2016.

[5] Ghasemieh H, Haverkort BR, Jongerden MR, Remke A. Energy resilience modelling for smart houses. In 2015 45th Annual IEEE/IFIP International Conference on Dependable Systems and Networks 2015 Jun 22 (pp. 275-286). IEEE.

[6] Ouyang, M., & Dueñas-Osorio, L. (2014). Multi-dimensional hurricane resilience assessment of electric power systems. Structural Safety, 48, 15-24.

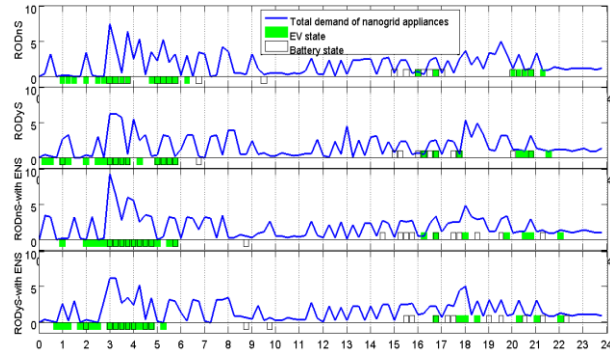
[7] امینی فر. فرخ، "درآمدی بر مفهوم تاب‌آوری در سیستم‌های قدرت"، سخنرانی علمی، پژوهشگاه نیرو، سالن فردوسی، ۹۵/۷/۲۶

[8] Roche R, Berthold F, Gao F, Wang F, Ravey A, Williamson S. A model and strategy to improve smart home energy resilience during outages using vehicle-to-home. In Electric Vehicle Conference (IEVC), 2014 IEEE International 2014 Dec 17 (pp. 1-6). IEEE.

[9] Marrone S, Gentile U. Finding Resilient and Energy-saving Control Strategies in Smart Homes. Procedia Computer Science. 2016 Dec 31;83:976-81.

[10] Guan, X., Xu, Z. and Jia, Q.S., "Energy-Efficient Buildings Facilitated by Microgrid," IEEE Transaction on Smart Grid, Vol. 1, No. 2, pp. 243-252, 2010.

[11] Huang, Y., Tian, H. and Wang, L., "Demand response for home energy management system,"



شکل ۹: مقایسه پروفیل دیمانند کل لوازم خانگی نانوشبکه، شارژ و دشارژ خودروی الکتریکی و باتری، در حالت‌های RODnS، RODyS، RODnS—with ENS و with ENS

شکل ۹، دیمانند کل لوازم خانگی نانوشبکه، وضعیت‌های شارژ و دشارژ خودروی الکتریکی و باتری را در هر یک از چهار حالت بالا نشان می‌دهد. همان‌طور که شکل پیداست، در دو حالت اول که تابع هزینه تاب‌آوری در نظر گرفته نشده است، تمرکز دشارژ خودروی الکتریکی و باتری، بیش‌تر در زمان‌هایی است که قیمت برق بالا بوده و فروش انرژی برای نانوشبکه سودآوری دارد، یعنی ساعات ۱۶ الی ۱۷ و ۲۰ الی ۲۱. برای دو حالت آخر یعنی با در نظرگیری تابع هزینه تاب‌آوری در تابع هدف نهایی مسئله، مشاهده می‌شود که دشارژ خودروی الکتریکی و باتری، بیش‌تر، در زمان‌هایی انجام می‌شود که دیمانند لوازم خانگی، بالاتر است و بدین صورت، وابستگی نانوشبکه به دریافت توان از شبکه بالادستی، کم‌تر می‌شود. بنابراین در صورت وقوع خاموشی، مقدار باری که در نانوشبکه از دست می‌رود، کم‌تر شده و در نتیجه، پایایی انرژی آن بیش‌تر می‌شود.

۷- تحلیل و نتیجه‌گیری

این پژوهش اثر برنامه‌ریزی در زمانبندی و سیستم دمایی را با مقایسه در نظر گرفتن تاب‌آوری و در نظر نگرفتن آن، به‌خوبی به نمایش گذاشت. ضمن در نظرگیری ناپیچینی‌ها در منابع تولید پراکنده و تولید سناریوهای مختلف به روش‌های جدید بهترین حالات را در سناریوسازی انجام داده و به تابع هدف نهایی وارد شود. همچنین به زمان‌های بهینه شارژ و دشارژ باتری و خودرو دست یافته شد و بهترین حالات بر اساس هزینه مشخص شده است. فاکتور مهمی که رضایتمندی ساکنین را در بر می‌گیرد، در نظر گرفته شد تا بر اساس آن با کمترین هزینه بهترین حالات ممکن استفاده ساکنین از وسایل و همچنین در تعیین بهینه دمایی سیستم‌های حرارتی و برودتی نانوشبکه ارایه شد. با مقایسه در نظر گرفتن هزینه تاب‌آوری و در نظر نگرفتن آن مشاهده می‌شود که با وجود افزایش کمی در هزینه، مقدار انتظار انرژی تامین نشده تقریباً به نصف کاهش و شاخص‌های پایایی بهبود داشته‌اند. این بدین معنا است که با اندکی افزایش هزینه در برنامه‌ریزی می‌توان از هزینه‌های اضافی در آینده جلوگیری کرد.

- [۲۱] باقری، س، فریدونیان، ع، "نانوشبکه هوشمند تاب‌آور با سیستم مدیریت انرژی خطی و در نظرگیری عدم قطعیت" ششمین کنفرانس بین المللی سیرد، ایران، تهران ۱۳۹۶
- [22] Clark-Ginsberg. A, Stanford University, "What's the Difference between Reliability and Resilience", Online: https://ics-cert.us-cert.gov/sites/default/files/ICSJWG-Archive/QNL_MAR_16/reliability%20and%20resilience%20pdf.pdf, March 2017.
- [۲۳] لیموزاده، ا، درخشنده، س، ی، «برنامه‌ریزی همزمان انرژی و ذخیره در ریزشبکه‌ها با لحاظ نمودن قیود قابلیت اطمینان»، کنفرانس ملی فناوری، داده و انرژی با رویکرد مهندسی برق و کامپیوتر ۱۳۹۴.
- [24] Zhang, Di, Nilay Shah, and Lazaros G. Papageorgiou. "Efficient energy consumption and operation management in a smart building with microgrid." *Energy Conversion and management* 74 (2013): 209-222.
- [25] Mazidi, M., Zakariazadeh, A., Jadid, S. and Siano, pp., "Integrated scheduling of renewable generation and demand response programs in a microgrid," *Energy Conversion and Management*, Vol. 86, pp. 1118-1127, 2014.
- [26] Rastegar, M., Fotuhi-Firuzabad, M. and Aminifar, F., and Farrokh Aminifar. "Load commitment in a smart home." *Applied Energy*, Vol. 96, pp. 45-54, 2012.
- [27] Tarasak, pp., Chai, C.C., Kwok, Y.S. and Oh, S.W., "Demand Bidding Program and Its Application in Hotel Energy Management." *IEEE Transactions on Smart Grid*, Vol. 5, No. 2, pp. 821-828, 2014.
- [28] Zhao, Z., Lee, W.C., Shin, Y. and Song, K.B., "An Optimal Power Scheduling Method for Demand Response in Home Energy Management System," *IEEE Transactions on Smart Grid*, Vol. 4, No. 3, pp. 1391 - 1400, 2013.
- [29] AgriMet, "AgriMet Weather Data." [Online]. Available: <http://www.usbr.gov/pn/agrimet/wxdata.html>
- International Journal of Electrical Power & Energy Systems, Vol. 73, pp. 448-455, 2015.
- [۱۲] محمد خلیل زاده، علیرضا فریدونیان، سیدمحمد تقی بطحایی، "خانه-های تبادل انرژی صفر: بررسی آماری و ارزیابی مقایسه اقتصادی انرژی"، دومین کنفرانس بین المللی رویکردهای نوین در نگهداشت انرژی ۱۳۹۴.
- [13] M. H. Amrollahi, S.M.T. Bathaee, A. Fereidunian, A. Bahramiazar, "Integration of Renewable Energy Sources in Zero Energy Buildings", Conf. and exhibition on Elec. Distribution Cired, 2014.
- [14] Shirazi, E., Zakariazadeh, A. and Jadid, S., "Optimal joint scheduling of electrical and thermal appliances in a smart home environment," *Energy Conversion and Management*, Vol. 106, pp. 181-193, 2015.
- [15] Chakraborty, S., Weiss, M.D. and Simoes, M.G., "Distributed intelligent energy management system for a single-phase high-frequency AC microgrid," *IEEE Transactions on Industrial Electronics*, Vol. 54, No. 1, pp. 97-109, 2007.
- [16] Dukpa, A., Duggal, I., Venkatesh, B. and Chang, L., "Optimal participation and risk mitigation of wind generators in an electricity market," *IET renewable power generation*, Vol. 4, No. 2, pp. 165-175, 2010.
- [17] Setlhaolo, D. and Xia, X., "Optimal scheduling of household appliances with a battery storage system and coordination," *Energy and Buildings*, Vol. 94, pp. 61-70, 2015.
- [18] Gholami. A, Aminifar. F, Shahidehpour. M, "Frontlines against the Darkness", *IEEE Electrification Magazine*, 1 march 2016.
- [19] Ouyang, M., & Dueñas-Osorio, L. (2014). Multi-dimensional hurricane resilience assessment of electric power systems. *Structural Safety*, 48, 15-24.
- [۲۰] باقری، س، فریدونیان، ع، "مدیریت انرژی نانوشبکه‌های هوشمند با رویکرد تاب‌آوری"، پنجمین کنفرانس بین المللی سیرد، ایران، تهران ۱۳۹۵

⁶ Electrical vehicle

⁷ Delay time rate

⁸ Latin Hypercube Sampling

⁹ K-means clustering

¹⁰ Exception of energy not supplied

¹ Demand side management

² Energy efficiency (EE)

³ Demand response (DR)

⁴ Real time

⁵ Rayleigh